

# Послойная декомпозиция в конечно-элементном анализе на гибридных архитектурах

А.К. Новиков, С.П. Копысов, Н.С. Недождогин

Институт механики УрО РАН, г. Ижевск

Международная конференция  
«Суперкомпьютерные дни в России»,  
г. Москва,  
25 – 26 сентября 2017 г.

Проблемы параллельных алгоритмов на современных вычислительных архитектурах и их решение:

- Конфликты общей памяти.
- Неоднородность ресурсов.
- Ограничение производительности алгоритмов доступом к памяти.

Проблемы параллельных алгоритмов на современных вычислительных архитектурах и их решение:

- Декомпозиция алгоритма на независимые части.
- Неоднородность ресурсов.
- Ограничение производительности алгоритмов доступом к памяти.

Проблемы параллельных алгоритмов на современных вычислительных архитектурах и их решение:

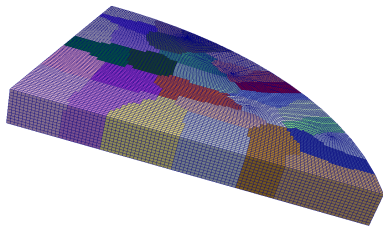
- Декомпозиция алгоритма на независимые части.
- Распределение вычислений на ресурсы, в зависимости от их производительности.
- Ограничение производительности алгоритмов доступом к памяти.

Проблемы параллельных алгоритмов на современных вычислительных архитектурах и их решение:

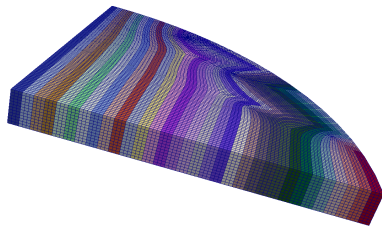
- Декомпозиция алгоритма на независимые части.
- Распределение вычислений на ресурсы, в зависимости от их производительности.
- Увеличение интенсивности вычислений.

## Варианты декомпозиции области:

- ❶ Разделение сетки с ветвлением (METIS).
- ❷ Разделение сетки без ветвления на основе объединения слоёв:
  - ❶ Блочный.
  - ❷ По четности номеров слоев.



а)

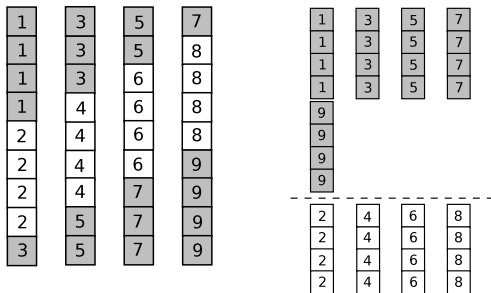


б)

Рис. 1 : Разделение 1/4 мембраны, число конечных элементов  $N_{fe} = 107136$ , число подобластей  $n_{\Omega} = 32$ : а) с ветвлением, б) без ветвления.

1	2	3	4	5	6	7	8	9
1	2	3	4	5	6	7	8	9
1	2	3	4	5	6	7	8	9
1	2	3	4	5	6	7	8	9

а)



б)

в)

Рис. 2 : Разделение а) и варианты объединения слоёв в блоки для  $n_{\Omega} = 4$ : б) блочная схема; в) схема по чётности.

Инициализация:

$$A, M \in \mathbb{R}^{N \times N};$$

$$u, r, p, q, z \in \mathbb{R}^N;$$

$$i \leftarrow 0;$$

$$u_i \leftarrow 0;$$

$$r_i \leftarrow f;$$

$$z_i \leftarrow M r_i;$$

$$p_i \leftarrow z_i;$$

$$\rho_i \leftarrow (r_i, z_i);$$

Выполнять, пока  $\|r_i\|_2 / \|b\|_2 > \varepsilon$

{

$$q_i \leftarrow A p_i;$$

$$\alpha_i \leftarrow (r_i, z_i) / (q_i, p_i);$$

$$u_{i+1} \leftarrow u_i + \alpha_i p_i;$$

$$r_{i+1} \leftarrow r_i - \alpha_i q_i;$$

$$z_{i+1} \leftarrow M r_{i+1};$$

$$\rho_{i+1} \leftarrow (r_{i+1}, z_{i+1});$$

$$\beta_{i+1} \leftarrow \rho_{i+1} / \rho_i;$$

$$p_{i+1} \leftarrow z_{i+1} + \beta_{i+1} p_i;$$

$$i \leftarrow i + 1.$$

}



Инициализация:

$$\tilde{A} \in \mathbb{R}^{\tilde{N} \times \tilde{N}}, C \in \mathbb{Z}^{\tilde{N} \times N},$$

$$\tilde{M} \in \mathbb{R}^{N \times N};$$

$$u, r, p, q, z \in \mathbb{R}^N;$$

$$i \leftarrow 0;$$

$$u_i \leftarrow 0;$$

$$r_i \leftarrow f;$$

$$z_i \leftarrow \tilde{M}r_i;$$

$$p_i \leftarrow z_i;$$

$$\rho_i \leftarrow (r_i, z_i);$$

Выполнять, пока  $\|r_i\|_2 / \|b\|_2 > \varepsilon$

{

$$q_i \leftarrow C^T \tilde{A} C p_i;$$

$$\alpha_i \leftarrow (r_i, z_i) / (q_i, p_i);$$

$$u_{i+1} \leftarrow u_i + \alpha_i p_i;$$

$$r_{i+1} \leftarrow r_i - \alpha_i q_i;$$

$$z_{i+1} \leftarrow \tilde{M}r_{i+1};$$

$$\rho_{i+1} \leftarrow (r_{i+1}, z_{i+1});$$

$$\beta_{i+1} \leftarrow \rho_{i+1} / \rho_i;$$

$$p_{i+1} \leftarrow z_{i+1} + \beta_{i+1} p_i;$$

$$i \leftarrow i + 1.$$

}

Инициализация:

$$\begin{aligned} \tilde{A} &\in \mathbb{R}^{\tilde{N} \times \tilde{N}}, C \in \mathbb{Z}^{\tilde{N} \times N}, \\ \tilde{M} &\in \mathbb{R}^{N \times \tilde{N}}; \\ u, r, p, q, z &\in \mathbb{R}^N; \\ i &\leftarrow 0; \\ u_i &\leftarrow 0; \\ r_i &\leftarrow f; \\ z_i &\leftarrow \tilde{M}r_i; \\ p_i &\leftarrow z_i; \\ \rho_i &\leftarrow (r_i, z_i); \end{aligned}$$

Выполнять, пока  $\|r_i\|_2 / \|b\|_2 > \varepsilon$

$$\left\{ \begin{aligned} q_i &\leftarrow C^T \tilde{A} C p_i; \\ \alpha_i &\leftarrow (r_i, z_i) / (q_i, p_i); \\ u_{i+1} &\leftarrow u_i + \alpha_i p_i; \\ r_{i+1} &\leftarrow r_i - \alpha_i q_i; \\ z_{i+1} &\leftarrow \tilde{M}r_{i+1}; \\ \rho_{i+1} &\leftarrow (r_{i+1}, z_{i+1}); \\ \beta_{i+1} &\leftarrow \rho_{i+1} / \rho_i; \\ p_{i+1} &\leftarrow z_{i+1} + \beta_{i+1} p_i; \\ i &\leftarrow i + 1. \end{aligned} \right.$$

- Преобразование  $\bar{p} \leftarrow Cp$

```
#pragma omp parallel for
for(int fe=0; fe < N_fe; fe++)
{ int fe_s = N_i * fe;
  for(int i=0; i < N_i; i++)
    pbar[fe_s + i] = p[ l[fe][i] ];
}
```

Инициализация:

$$\tilde{A} \in \mathbb{R}^{\tilde{N} \times \tilde{N}}, C \in \mathbb{Z}^{\tilde{N} \times N},$$

$$\tilde{M} \in \mathbb{R}^{N \times \tilde{N}};$$

$$u, r, p, q, z \in \mathbb{R}^N;$$

$$i \leftarrow 0;$$

$$u_i \leftarrow 0;$$

$$r_i \leftarrow f;$$

$$z_i \leftarrow \tilde{M}r_i;$$

$$p_i \leftarrow z_i;$$

$$\rho_i \leftarrow (r_i, z_i);$$

Выполнять, пока  $\|r_i\|_2 / \|b\|_2 > \varepsilon$

{

$$q_i \leftarrow C^T \tilde{A} C p_i;$$

$$\alpha_i \leftarrow (r_i, z_i) / (q_i, p_i);$$

$$u_{i+1} \leftarrow u_i + \alpha_i p_i;$$

$$r_{i+1} \leftarrow r_i - \alpha_i q_i;$$

$$z_{i+1} \leftarrow \tilde{M}r_{i+1};$$

$$\rho_{i+1} \leftarrow (r_{i+1}, z_{i+1});$$

$$\beta_{i+1} \leftarrow \rho_{i+1} / \rho_i;$$

$$p_{i+1} \leftarrow z_{i+1} + \beta_{i+1} p_i;$$

$$i \leftarrow i + 1.$$

}

• Преобразование  $\bar{p} \leftarrow C p$

```
#pragma omp parallel for
for(int fe=0; fe < N_fe; fe++)
{ int fe_s = N_i * fe;
  for(int i=0; i < N_i; i++)
    pbar[fe_s + i] = p[ l[fe][i] ];
}
```

• Произведение  $\tilde{q} \leftarrow \tilde{A} \bar{p}$

```
#pragma omp parallel for
for(int fe=0; fe < N_fe; fe++)
{ int fe_s = N_i * fe;
  for(int i=0; i < N_i; i++)
    for(int j=0; j < N_i; j++)
      qtilde[fe_s+i] += Atilde[fe][i][j] * pbar[fe_s+j];
}
```

Инициализация:

$$\tilde{A} \in \mathbb{R}^{\tilde{N} \times \tilde{N}}, C \in \mathbb{Z}^{\tilde{N} \times N},$$

$$\tilde{M} \in \mathbb{R}^{N \times \tilde{N}};$$

$$u, r, p, q, z \in \mathbb{R}^N;$$

$$i \leftarrow 0;$$

$$u_i \leftarrow 0;$$

$$r_i \leftarrow f;$$

$$z_i \leftarrow \tilde{M}r_i;$$

$$p_i \leftarrow z_i;$$

$$\rho_i \leftarrow (r_i, z_i);$$

Выполнять, пока  $\|r_i\|_2 / \|b\|_2 > \varepsilon$

$$\{$$

$$q_i \leftarrow C^T \tilde{A} C p_i;$$

$$\alpha_i \leftarrow (r_i, z_i) / (q_i, p_i);$$

$$u_{i+1} \leftarrow u_i + \alpha_i p_i;$$

$$r_{i+1} \leftarrow r_i - \alpha_i q_i;$$

$$z_{i+1} \leftarrow \tilde{M}r_{i+1};$$

$$\rho_{i+1} \leftarrow (r_{i+1}, z_{i+1});$$

$$\beta_{i+1} \leftarrow \rho_{i+1} / \rho_i;$$

$$p_{i+1} \leftarrow z_{i+1} + \beta_{i+1} p_i;$$

$$i \leftarrow i + 1.$$

$$\}$$

- Преобразование  $\bar{p} \leftarrow C p$

```
#pragma omp parallel for
for(int fe=0; fe < N_fe; fe++)
{ int fe_s = N_i * fe;
  for(int i=0; i < N_i; i++)
    pbar[fe_s + i] = p[ l[fe][i] ];
}
```

- Произведение  $\tilde{q} \leftarrow \tilde{A} \bar{p}$

```
#pragma omp parallel for
for(int fe=0; fe < N_fe; fe++)
{ int fe_s = N_i * fe;
  for(int i=0; i < N_i; i++)
    for(int j=0; j < N_i; j++)
      qtilde[fe_s+i] += Atilde[fe][i][j] * pbar[fe_s+j];
}
```

- Поэлементная сборка вектора  $q \leftarrow C^T \tilde{q}$

```
#pragma omp parallel for
for(int fe=0; fe < N_fe; fe++)
  for(int i=0; i < N_i; i++)
    {int fe_s = N_i * fe;
     #pragma omp critical
     q[l[fe_s+i]] += qtilde[fe_s+i];
    }
```

- Поэлементная сборка без синхронизации

```
#pragma omp parallel for
for(int fe=0; fe < N_fe; fe++)
  for(int i=0; i < N_i; i++)
  {
    q[l[fe_s+i]] += qtilde[fe_s+i];
  }
```

- Поэлементная сборка без синхронизации

```
#pragma omp parallel for
for(int fe=0; fe < N_fe; fe++)
  for(int i=0; i < N_i; i++)
  {
    q[l[fe_s+i]] += qtilde[fe_s+i];
  }
```

- Сборка по степеням свободы

```
#pragma omp parallel for
for(int l=0; l < N; l++)
  q[l] += qtilde[ N_i * l2fe[l] + l2i[l] ];
```

- Поэлементная сборка без синхронизации

```
#pragma omp parallel for
for(int fe=0; fe < N_fe; fe++)
  for(int i=0; i < N_i; i++)
  {
    q[l[fe_s+i]] += qtilde[fe_s+i];
  }
```

- Сборка по степеням свободы

```
#pragma omp parallel for
for(int l=0; l < N; l++)
  q[l] += qtilde[ N_i * l2fe[l] + l2i[l] ];
```

- Умножение на матрицу инцидентности

```
#pragma omp parallel for
for(int l=0; l < N; l++)
  for(int pos=C1b[l]; pos < C1b[l+1]; pos++)
    q[l] += qtilde[CJ[pos]] * CV[pos];
```

- Поэлементная сборка без синхронизации

```
#pragma omp parallel for
for(int fe=0; fe < N_fe; fe++)
  for(int i=0; i < N_i; i++)
  {
    q[l[fe_s+i]] += qtilde[fe_s+i];
  }
```

- Сборка по степеням свободы

```
#pragma omp parallel for
for(int l=0; l < N; l++)
  q[l] += qtilde[ N_i * l2fe[l] + l2i[l] ];
```

- Умножение на матрицу инцидентности

```
#pragma omp parallel for
for(int l=0; l < N; l++)
  for(int pos=C1b[l]; pos < C1b[l+1]; pos++)
    q[l] += qtilde[CJ[pos]] * CV[pos];
```

- «Умножение» на матрицу инцидентности

```
#pragma omp parallel for
for(int l=0; l < N; l++)
  for(int pos = C1b[l]; pos < C1b[l+1]; pos++)
    q[l] += qtilde[CJ[pos]];
```



Таблица 1 : Время сборки вazoleментной схеме, сек,  $N_{fe} = 507904$ 

	CPU	2 CPU	4 CPU	8 CPU	GPU
<i>С синхронизацией</i>					
Неупорядоченное разделение	0.017	0.2870	0.1830	0.1780	—
<i>Без синхронизации</i>					
Блочное разделение	0.017	0.0077	0.0040	0.0027	0.0290
Разделение по четности	0.017	0.0099	0.0052	0.0034	—
<i>Изменение алгоритма сборки</i>					
Умножение на матрицу инцидентности	—	—	—	—	0.0036

## Особенности крупно-блочной реализации $q_i = Ap_i$

- строится граф матрицы коэффициентов системы уравнений  $A$ ;
- граф матрицы  $G(A)$  разделяется на подграфы  $G_k(A)$ ;
- матрица  $A$  разбивается на блоки  $A_k$ , соответствующие  $G_k(A)$ ;

$$A = \begin{pmatrix} A_1^{[i_1, i_1]} & A_1^{[i_1, b_1]} & \dots & 0 & 0 & \dots & 0 & 0 \\ A_1^{[b_1, i_1]} & A_1^{[b_1, b_1]} & \dots & 0 & A_1^{[b_1, b_k]} & \dots & 0 & A_1^{[b_1, b_{n_p}]} \\ \vdots & \vdots & \ddots & \vdots & \vdots & \ddots & \vdots & \vdots \\ 0 & 0 & \dots & A_k^{[i_k, i_k]} & A_k^{[i_k, b_k]} & \dots & 0 & 0 \\ 0 & A_k^{[b_k, b_1]} & \dots & A_k^{[b_k, i_k]} & A_k^{[b_k, b_k]} & \dots & 0 & A_k^{[b_k, b_{n_p}]} \\ \vdots & \vdots & \ddots & \vdots & \vdots & \ddots & \vdots & \vdots \\ 0 & 0 & \dots & 0 & 0 & \dots & A_{n_p}^{[i_{n_p}, i_{n_p}]} & A_{n_p}^{[i_{n_p}, b_{n_p}]} \\ 0 & A_{n_p}^{[b_{n_p}, b_1]} & \dots & 0 & A_{n_p}^{[b_{n_p}, b_k]} & \dots & A_{n_p}^{[b_{n_p}, i_{n_p}]} & A_{n_p}^{[b_{n_p}, b_{n_p}]} \end{pmatrix},$$

здесь  $k \neq m$ ,  $k, m \in [1, n_p]$  — номера блоков.

- $A_k^{[i_k, i_k]}$  — матрица, элементы которой связывают внутренние вершины;
  - $A_k^{[i_k, b_k]}$ ,  $A_k^{[b_k, i_k]}$  — матрицы, связывающие внутренние вершины с граничными;
  - $A_k^{[b_k, b_m]}$  — матрица, связывающая граничные вершины  $k$ -го блока с граничными вершинами  $m$ -го блока.
- произведение  $q_i = Ap_i$  реализуется для матрицы  $A$  в блочной форме.

В варианте нескольких GPU  $q_i = Ap_i$  вычисляется следующим образом:

- 1  $q_k^b = \sum_m A_k^{[b_k, b_m]} p_m^b, m \in [1, n_p], m \neq k; \{ \text{Вычисление на CPU и копирование на GPU} \}$
- 2  $q_k^i = A_k^{[i_k, i_k]} p_k^i + A_k^{[i_k, b_k]} p_k^b. \{ \text{Вычисление на GPU} \}$
- 3  $q_k^b = A_k^{[b_k, b_k]} p_k^b + A_k^{[b_k, i_k]} p_k^i; \{ \text{Вычисление на GPU} \}$

Вектор  $p$  представляются в виде «граничных» и «внутренних» компонент  $p^T = (p_1^i, p_1^b, \dots, p_k^i, p_k^b, \dots, p_{n_p}^i, p_{n_p}^b)$ , так же, как векторы  $q, u, r, z$ .

Таблица 2 : Время решения СЛАУ<sup>1</sup> блочной схемой метода сопряжённых градиентов

Название теста	$n/\frac{nnz}{n}$	CPU	1 GPU	2 GPU	4 GPU	6 GPU	8 GPU
Inline_1	503712 / 73	1537.0	166.27	149.18	144.64	181.23	230.78
Fault_639	638802 / 44	299.5	40.07	38.06	37.93	46.14	61.06
Emilia_923	923136 / 44	706.5	94.67	77.26	69.98	80.85	101.87
Audikw_1	943695 / 82	846.5	85.33	62.33	51.29	55.84	67.64
Flan_1565	1564794 / 75	1675.5	144.60	97.70	71.31	73.16	82.51

<sup>1</sup> В вычислительных экспериментах использованы матрицы из «The University of Florida Sparse Matrix Collection» (<http://yifanhu.net/GALLERY/GRAPHS/search.html>).

## Особенности послойного разделения для блочной схемы.

- На уровне сетки:
  - статическая балансировка в виде разделения сетки на слои ячеек, с последующим объединением слоев в подобласти без ветвления;
  - формирование блоков при конечно-элементной аппроксимации на полученных подобластях сетки.
- На уровне матрицы  $A$ :
  - в качестве первого слоя берутся вершины графа, соответствующие первой строке матрицы  $A$ ;
  - условие соседства — существование вершин, связанных с текущим слоем.

- Параллельное формирование дополнения Шура:

- ① Параллельно в каждой  $i$ -ой подобласти:

- ① Вычисляем матрицы  $A'_{IB} = A_{II}^{-1}A_{IB}$ , решая на GPU систему

$$A_{II}A'_{IB} = A_{IB} \quad (1)$$

- ② Вычисляем матрицы  $S_{BB}$ , соответствующие подобласти  $i$ .

$$S_{BB} = A_{BB} - A_{BI}A'_{IB}. \quad (2)$$

- ③ Решаем на GPU систему:

$$A_{II}f'_I = f_I. \quad (3)$$

- ④ Вычисляем слагаемые вектора правых частей для границы

$$\tilde{f}'_B = f_B - A_{BI}f'_I. \quad (4)$$

- ② Формируем на CPU матрицу  $\tilde{S}_{BB}$  в формате CSR и вектор правой части  $\tilde{f}_B$

$$\tilde{S}_{BB} = \sum_i S_{BB}^i, \quad \tilde{f}_B = \sum_i \tilde{f}_B^i. \quad (5)$$

- Параллельное решение:

- ① Решаем систему уравнений для границы на нескольких GPU

$$\tilde{S}_{BB}\tilde{u}_B = \tilde{f}_B. \quad (6)$$

- ② Нахождение неизвестных для внутренних узлов

$$u_I = f'_I - A'_{IB}\tilde{u}_B. \quad (7)$$

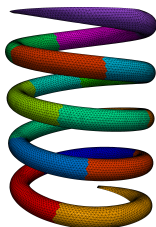


Рис. 3 : Сетка из  $N_{fe} = 174264$  тетраэдров,  $n_{\Omega} = 16$ .

Особенности геометрии:

- Развитая граничная поверхность.
- Преобладание одного направления, не совпадающего с координатными.
- Существуют конечные элементы, все узлы которых принадлежат границе.
- Неравномерность по шагу сетки и валентности узлов.

Таблица 3 : Время формирование дополнения Шура, сек.

$n_{\Omega}$	CPU	1 GPU	2 GPU	4 GPU	6 GPU	8 GPU
16	1583.6	1912.6	1165.5	789.9	657.6	589.4
32	480.6	1173.9	661.8	401.7	314.0	266.5
64	145.1	678.8	378.2	224.8	174.7	149.0
128	—	—	237.2	145.8	118.5	102.5
256	—	—	194.0	121.0	97.7	86.0
512	—	—	168.3	105.7	86.0	75.4
1024	18.7	233.4	144.0	92.2	77.5	68.0

Таблица 4 : Время решения системы  $\tilde{S}_{BB}\tilde{u}_B = \tilde{f}_B$ , сек.

$n_\Omega$	CPU	1 GPU	2 GPU	4 GPU	6 GPU	8 GPU
16	> 28800	912	421	205	281	264
32	> 28800	983	630	430	317	274
64	18067	287	174	98	82	72
128	—	—	127	78	66	60
256	—	—	106	70	61	56
512	—	—	85	63	56	53
1024	6502	69	76	59	54	52

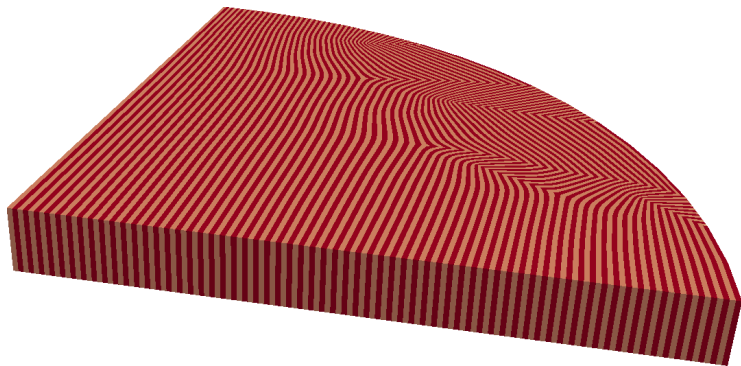


Рис. 4 : Множество слоев,  $n_s = 128$ .



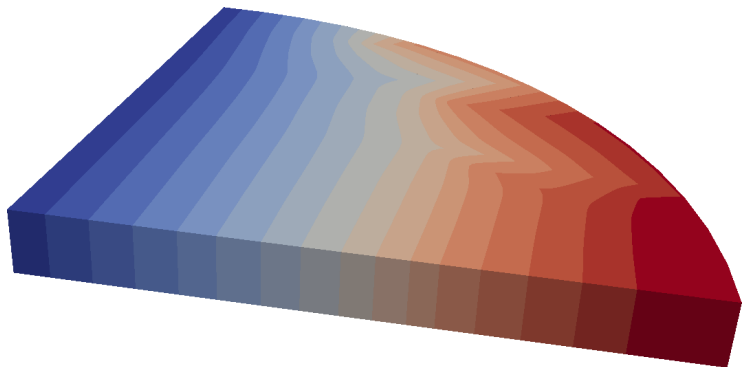


Рис. 4 : Слои объединены в 16 блоков  $\omega_i, i = 1, n_\omega, n_\omega = 16$

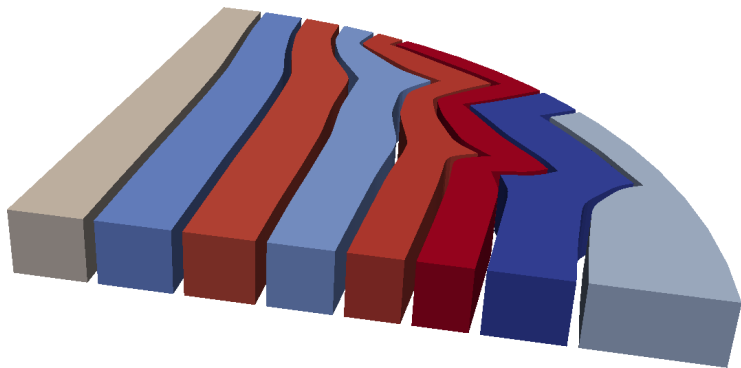


Рис. 4 : 4 уровень (8 подобластей  $\Omega_j, j = 1, n_\Omega, n_\Omega = n_\omega/2 = 8$ )

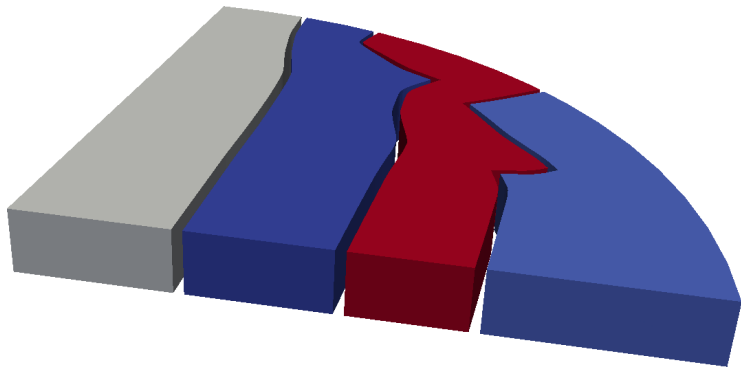


Рис. 4 : 3 уровень,  $n_{\Omega} = 4$

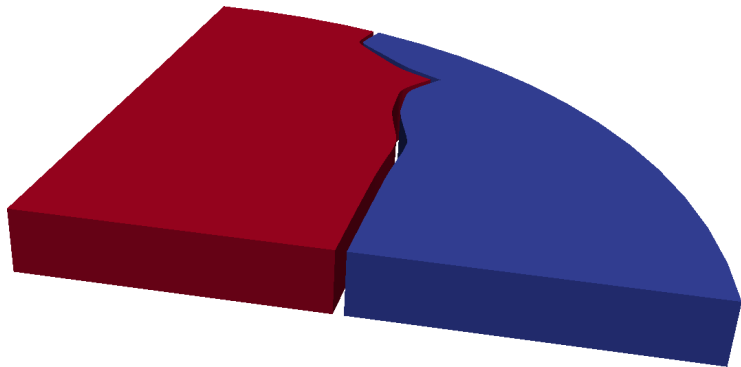


Рис. 4 : 2 уровень,  $n_{\Omega} = 2$

- В поэлементной схеме благодаря послойному разделению (разделение без ветвления) были исключены конфликты в общей памяти при параллельной сборке вектора результата матрично-векторного произведения.
- При использовании блочного метода сопряженных градиентов представляется перспективным наследование послойного разделения сетки для разделения матрицы на блоки на этапе конечно-элементной аппроксимации.
- Применение послойного разделения сетки в методе дополнения Шура позволило: в полтора раза сократить время формирования матриц  $S_{BB}^i$  за счет перераспределения размеров матриц (уменьшения  $A_{II}^i$ , и увеличения  $A_{BI}^i$  и  $A_{IB}^i$ ) и локализации доступа к данным.
- Использование блочного метода решения, позволило снизить ограничения на размер систем, решаемых на GPU.

Дальнейшие исследования:

- Объединение слоев в многосвязных сеточных областях.
- Наследование разделение сетки без ветвления для формирования блоков матрицы коэффициентов системы уравнений.
- Построение иерархического метода дополнения Шура на основе разделения по слоям.
- Послойное упорядочения в сеточных подобластях, полученных другими алгоритмами.

Работа выполнена при частичной финансовой поддержке РФФИ, гранты №17-01-00402-а, 16-01-00129-а.